

Zeitschrift: Bulletin de la Société Neuchâteloise des Sciences Naturelles
Herausgeber: Société Neuchâteloise des Sciences Naturelles
Band: 90 (1967)

Artikel: Quelques Strigeida (Trematoda) d'Australie. II
Autor: Dubois, Georges / Pearson, John C.
DOI: <https://doi.org/10.5169/seals-88970>

Nutzungsbedingungen

Die ETH-Bibliothek ist die Anbieterin der digitalisierten Zeitschriften auf E-Periodica. Sie besitzt keine Urheberrechte an den Zeitschriften und ist nicht verantwortlich für deren Inhalte. Die Rechte liegen in der Regel bei den Herausgebern beziehungsweise den externen Rechteinhabern. Das Veröffentlichen von Bildern in Print- und Online-Publikationen sowie auf Social Media-Kanälen oder Webseiten ist nur mit vorheriger Genehmigung der Rechteinhaber erlaubt. [Mehr erfahren](#)

Conditions d'utilisation

L'ETH Library est le fournisseur des revues numérisées. Elle ne détient aucun droit d'auteur sur les revues et n'est pas responsable de leur contenu. En règle générale, les droits sont détenus par les éditeurs ou les détenteurs de droits externes. La reproduction d'images dans des publications imprimées ou en ligne ainsi que sur des canaux de médias sociaux ou des sites web n'est autorisée qu'avec l'accord préalable des détenteurs des droits. [En savoir plus](#)

Terms of use

The ETH Library is the provider of the digitised journals. It does not own any copyrights to the journals and is not responsible for their content. The rights usually lie with the publishers or the external rights holders. Publishing images in print and online publications, as well as on social media channels or websites, is only permitted with the prior consent of the rights holders. [Find out more](#)

Download PDF: 29.01.2026

ETH-Bibliothek Zürich, E-Periodica, <https://www.e-periodica.ch>

QUELQUES STRIGEIDA (TREMATODA) D'AUSTRALIE. II

par

GEORGES DUBOIS et JOHN C. PEARSON

AVEC 9 FIGURES

Une nouvelle collection de *Strigeida* a été constituée au Département de Parasitologie de l'« University of Queensland », à Brisbane (Australie). Elle comprend les espèces suivantes :

Familia STRIGEIDAE Railliet

Strigea promiscua Nicoll, 1914

Schwartzitrema novaehollandiae n. sp.

Schwartzitrema pandubi (Pande, 1939) Dubois et Pearson, 1965

Familia DIPLOSTOMATIDAE Poirier

Diplostomum (Adenodiplostomum) triangulare (S. J. Johnston, 1904)
Hughes, 1929 et Dubois, 1937

Diplostomum (Diplostomum) amygdalum Dubois et Pearson, 1965

Diplostomum (Dolichorchis) auriculosum n. sp.

Neodiplostomum (Conodiplostomum) spathula australiense Dubois,
1937 comb. emend.

Neodiplostomum (Neodiplostomum) subaequipartitum n. sp.

Posthodiplostomum australe Dubois, 1937

Familia CYATHOCOTYLIDAE Poche

Mesostephanus minor Dubois et Pearson, 1965

LISTE DES HÔTES

- N° 469 *Notophoyx novaehollandiae* (Lath.). Adulte capturé à Stafford, Brisbane, Qld., le 28 septembre 1960.
N° 843 *Egretta garzetta* (L.). Oiseau au nid, Jardin Botanique de Brisbane, Qld., autopsié le 3 janvier 1963.
N° 862 *Dacelo novaeguineae* (Herm.)¹. Adulte, Brisbane, Qld., 8 mars 1963.

¹ Nom actuel de *Dacelo gigas* (Bodd.).

- Nº 1077 *Pelecanus conspicillatus* Temm. Adulte, Mackay, Qld., 26 juin 1964.
Nº 1082 *Haliastur sphenurus* (Vieill.). Adulte, Surat, Qld., 13 août 1964.
Nº 1140 *Dacelo novaeguineae* (Herm.)¹. Adulte, Brisbane, Qld., 26 mai 1965.
Nº 1146 *Podiceps ruficollis* (Pall.). Adulte, Kola, Brisbane River, Qld., 25 août 1965.
Nº 1147 *Anhinga novaehollandiae* (Gould). Adulte, Kola, Brisbane River, Qld., 25 août 1965.
Nº 1148 *Phalacrocorax melanoleucus* (Vieill.). Adulte, Kola, Brisbane River, Qld., 25 août 1965.
Nº 1151 *Notophoyx novaehollandiae* (Lath.). Adulte, Brisbane, Qld., 1^{er} septembre 1965.
Nº 1158 *Ninox novaeseelandiae boobook* (Lath.). Adulte, Brisbane, Qld., 6 septembre 1965.
Nº 1172 *Tyto alba delicatula* (Gould). Adulte, Brisbane, Qld., 10 août 1965.

Familia STRIGEIDAE Railliet, 1919

Strigea promiscua Nicoll, 1914

Le Ver a été retrouvé dans l'intestin grêle de *Ninox novaeseelandiae boobook* (Lath.), à Brisbane, le 6 septembre 1965 [Nº 1158].

Le segment antérieur ovoïde devient utriforme par dilatation de son ouverture. La glande protéolytique, située dorsalement à sa base, est formée d'une masse principale multilobée (125-160/100-140 μ) et d'une partie ovoïde isolée, postérieure (42-55/65-95 μ), proche de la limite intersegmentaire et moins chromophile à l'égard du carmin aluné.

L'ovaire est réniforme, à concavité dorsale. Les vitellogènes pénètrent dans les parois dorsale et ventrale du segment antérieur, ainsi que dans les lèvres de l'organe tribocytique. Dans le segment postérieur, ils se terminent ventralement au niveau de l'équateur du cône génital.

Longueur totale	3,05-3,64 mm
Segment antérieur	1,19-1,34/0,82-1,00
Segment postérieur	1,86-2,30/0,91-1,07
Rapport des longueurs :	
segment postérieur/segment antérieur . .	1,56-1,72

Diamètres :

ventouse buccale	160-185/150-170 μ
pharynx	110-125/134-140
ventouse ventrale	175-220/180-220
ovaire	160-210/275-320

¹ Nom actuel de *Dacelo gigas* (Bodd.).

testicule antérieur	410-480/640-800
testicule postérieur	530-640/740-860
cône génital	300-320/210-265
œuf (un seul)	110/70
Profondeur de l'atrium génital	190-210 μ
Distance des derniers follicules vitellogènes à l'extrémité du corps	200-230 μ
Situation de l'ovaire dans le segment postérieur	23-25/100

Schwartzitrema novaehollandiae n. sp.

Quatre exemplaires de ce Ver ont été récoltés à Kola, Brisbane River, Qld., le 25 août 1965, dans l'intestin grêle d'un *Anhinga novaehollandiae* (Gould), qui hébergeait en outre *Diplostomum (Dolichorchis) auriculosum* n. sp. et *Mesostephanus minor* Dubois et Pearson [N° 1147].

Diagnose : Segment antérieur ovoïde à utriforme suivant le degré de dilatation, à large ouverture légèrement oblique dans le premier cas, perpendiculaire à l'axe du corps dans le second, où la ventouse buccale fait saillie au sommet d'une éminence de la paroi dorsale ; segment postérieur claviforme, d'abord cylindrique, arqué et extensible (collet), puis renflé en massue et atteignant sa largeur maximum dans la zone testiculaire, enfin resserré au-devant de la bourse copulatrice qui est ainsi délimitée. Ventouse ventrale relativement faible, postéquatoriale, un peu plus grande que la ventouse buccale suivie d'un pharynx plus large que long, au pôle postérieur duquel s'applique une calotte d'un tissu dense, peut-être de nature glandulaire. Pseudo-ventouses prolongées en avant par une proéminence cylindro-conique (85-135/65-85 μ), dirigée obliquement, et se terminant en arrière par une saillie conique ou arrondie, plus ou moins développée mais toujours plus petite que la précédente, le tout mesurant 260-320 μ de longueur. Glande protéolytique indistincte. Ovaire ovoïde, situé dorsalement au début de la partie renflée du segment postérieur. Testicules disposés transversalement, formés chacun de deux lobes ventraux réunis par une large commissure dorsale, le premier asymétriquement développé, avec un petit lobe ovoïde du côté de l'ovaire et un grand lobe opposé, le second symétriquement développé. Vésicule séminale dorsale, posttesticulaire. Vitellogènes occupant tout le segment postérieur, surtout la région du collet puis la face ventrale de la partie renflée, dont ils atteignent presque l'extrémité, et pénétrant dans la base du segment antérieur, tout au plus jusqu'à la hauteur de la ventouse ventrale ; réservoir vitellin et glande de Mehlis intertesticulaires. Canal de Laurer (diamètre 24-25 μ , épaisseur des parois 5-7 μ) débouchant au niveau du testicule antérieur. Bourse copulatrice délimitée extérieurement, à large pore terminal, contenant un cône génital parfois encerclé à la base d'un repli pseudo-prépuce,

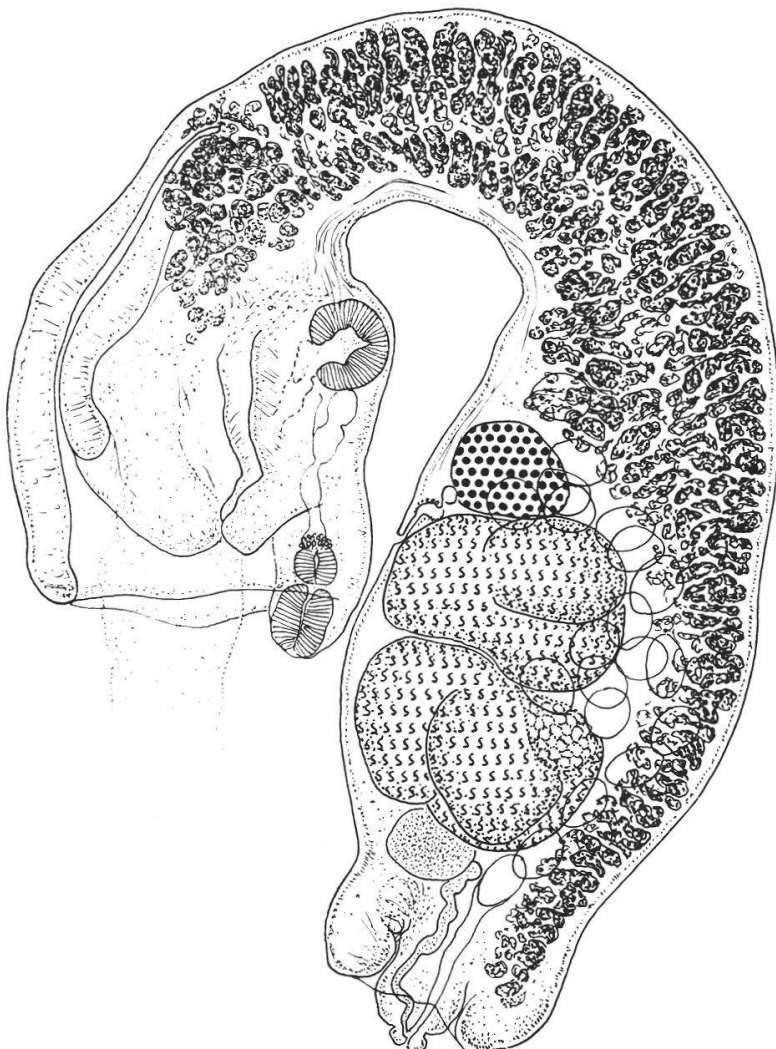


Fig. 1

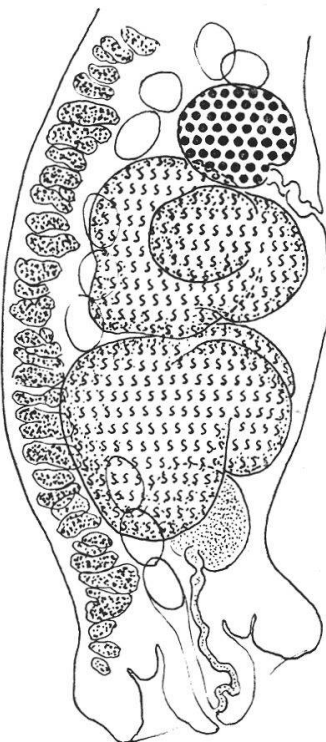


Fig. 2

Fig. 1. *Schwartzitrema novaehollandiae* n. sp., de *Anhinga novaehollandiae* (Gould) [N° 1147]. Holotype. Longueur 2,45 mm.

Fig. 2. *Schwartzitrema novaehollandiae* n. sp., de *Anhinga novaehollandiae* (Gould) [N° 1147]. Paratype. Morphologie des glandes génitales.

lorsqu'il est quelque peu rétracté, et traversé dans toute sa longueur par l'utérus rectiligne et le canal ejaculateur plus ou moins sinueux, celui-ci rejoignant celui-là très près du sommet du cône, en sorte que le canal hermaphrodite est très court ($25-37 \mu$). Œufs au nombre de 30 à 40 dans l'utérus.

Longueur totale	2,45-3,34 mm
Segment antérieur	0,72-0,80/0,47-0,53
Segment postérieur	1,70-2,54/0,47-0,56
Rapport des longueurs :	

Diamètres :

ventouse buccale	100-110/84-90 μ
pharynx	52-63/68-69
ventouse ventrale	110-120/125-150
ovaire	132-145/172-188
testicule antérieur { petit lobe . .	120-150/160-215
grand lobe . .	220-280/250-260/340-380
testicule postérieur	230-300/300-350
cône génital	170-190/130-145
œufs	89-98/55-70 (moy. 92/61)

Longueur de l'œsophage 85-125 μ

Profondeur de l'atrium génital 120-145

Distance des derniers follicules vitello-gènes à l'extrémité du corps 50-80 μ

Situation dans le segment postérieur :

ovaire	52-66/100
bord antérieur du 1 ^{er} testicule . . .	55-68/100
bord postérieur du 2 ^e testicule . . .	80-90/100

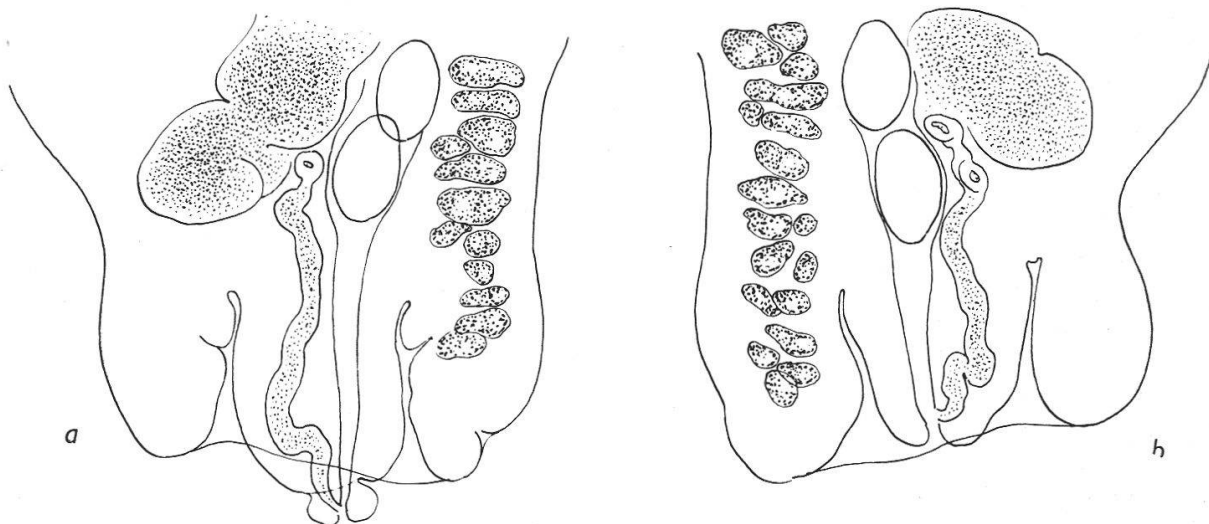


Fig. 3. *Schwartzitrema novaehollandiae* n. sp., de *Anhinga novaehollandiae* (Gould) [N° 1147]. Extrémité postérieure. *a* holotype, *b* paratype.

Des six espèces de *Schwartzitrema*, deux ont les vitellogènes strictement confinés dans le segment postérieur : *S. pandubi* (Pande, 1939) [Inde et Australie] et *S. seamsteri* Chandler, 1951 [Etats-Unis : Texas]. Chez les quatre autres, des follicules erratiques subsistent dans la base du segment antérieur. Ce dernier est marsupiforme chez l'espèce-type, *S. schwartzi* (Pérez Vigueras, 1940) [Cuba], c'est-à-dire plus ou moins décollé par le fait que la paroi ventrale ne remonte que jusqu'à la moitié ou aux 3/4 de la longueur du segment, délimitant ainsi une poche

abritant l'organe tribocytique, — cochléariforme et à large ouverture très oblique chez *S. perezi* (R. Gupta, 1962) [Inde], — piriforme ou utriforme, à ouverture perpendiculaire à l'axe du corps chez *S. truonis* (Dubois et Fain, 1956) [Ex-Congo belge]¹ et *S. novaehollandiae* n. sp. [Australie].

Schwartzitrema pandubi (Pande, 1939)

Quelques exemplaires ovigères et d'autres très jeunes ont été trouvés dans l'intestin grêle d'un *Phalacrocorax melanoleucus* (Vieill.), à Kola, Brisbane River, Qld., le 25 août 1965.

Les vitellogènes sont strictement confinés dans le segment postérieur. Les mesures suivantes sont prises sur trois spécimens ovigères.

Longueur totale	0,69-0,96 mm
Segment antérieur	0,32-0,45/0,25-0,34
Segment postérieur	0,37-0,59/0,23-0,26

Rapport des longueurs :

segment postérieur/segment antérieur 1,04-1,54

Diamètres :

ventouse buccale	57-65/68-70 μ
pharynx	37-43/40-42
ventouse ventrale	95-115/85-100
ovaire	65/92
testicule antérieur	85-110/135-150
testicule postérieur	120-135/125-135
œufs	85-92/52-61

Situation dans le segment postérieur :

ovaire	20/100
bord antérieur du 1 ^{er} testicule	22-25/100

Nombre d'œufs dans l'utérus 5 à 9

Familia DIPLOSTOMATIDAE Poirier, 1886

Diplostomum (Adenodiplostomum) triangulare
(S. J. Johnston, 1904) Hughes, 1929 et Dubois, 1937

[Syn. *Hemistomum triangulare* S. J. Johnston, 1904 ;
Diplostomum triangulare (Johnst.) Hughes, 1929 ;
Adenodiplostomum triangulare (Johnst.) Dubois, 1937]

L'espèce n'était connue jusqu'ici que par la description succincte de S. J. JOHNSTON, illustrée de six figures. Le matériel-type était considéré comme perdu. Or l'un de nous (J.C.P.), en consultant le catalogue de la « London School of Hygiene and Tropical Medicine », trouva la mention

¹ Nous validons le statut d'espèce de *Schwartzitrema truonis* (Dubois et Fain, 1956) comb. nov., puisque la présence de follicules erratiques dans le segment antérieur la distingue de *S. pandubi* (Pande).

d'une préparation N° T 260, étiquetée « J. P. Hill, *Hemistomum triangulare* fr. Jackass, Biological Laboratory, Sydney University ». Elle contient trois spécimens originaux, ovigères, très fortement contractés, pratiquement inutilisables pour une redescription.

Fort heureusement, l'espèce a été retrouvée deux fois à Brisbane, Qld., les 8 mars 1963 et 26 mai 1965, dans l'intestin grêle de l'hôte-type, *Dacelo novaeguineae* (Herm.) = *D. gigas* (Bodd.) [N° 862 : un exemplaire, et N° 1140 : 13 exemplaires].

Diagnose : Segment antérieur ovale à « triangulaire », cochléariforme, à cuticule spinescente jusqu'au niveau de l'organe tribocytique, à extrémité antérieure conique, occupée par la ventouse buccale flanquée de pseudo-ventouses, — subégal au segment postérieur subcylindrique à tronconique, plus ou moins arqué dorsalement, c'est-à-dire en sens contraire du précédent dont il est séparé par une forte constriction, tronqué perpendiculairement ou obliquement à l'extrémité, où la bourse copulatrice s'ouvre largement. Ventouse buccale plus grande que la ventouse ventrale située à peine en avant de la mi-longueur du segment antérieur ; pseudo-ventouses réniformes. Pharynx ellipsoïde, globulaire par contraction ; œsophage très court. Organe tribocytique circulaire, dont la cuticule est finement spinescente. Ovaire ovoïde, situé dans le premier cinquième du segment postérieur. Testicule antérieur asymétriquement développé, cunéiforme, dont la partie massive est le lobe latéro-ventral (gauche le plus souvent) ; testicule postérieur bilobé, à commissure dorsale étroite, antérieure et oblique, et dont le lobe le plus développé est opposé obliquement à la partie massive du premier testicule ; vésicule séminale volumineuse, ovoïde, prolongée par un canal ejaculateur dorsal, replié sur lui-même et rejoignant l'utérus à la base du

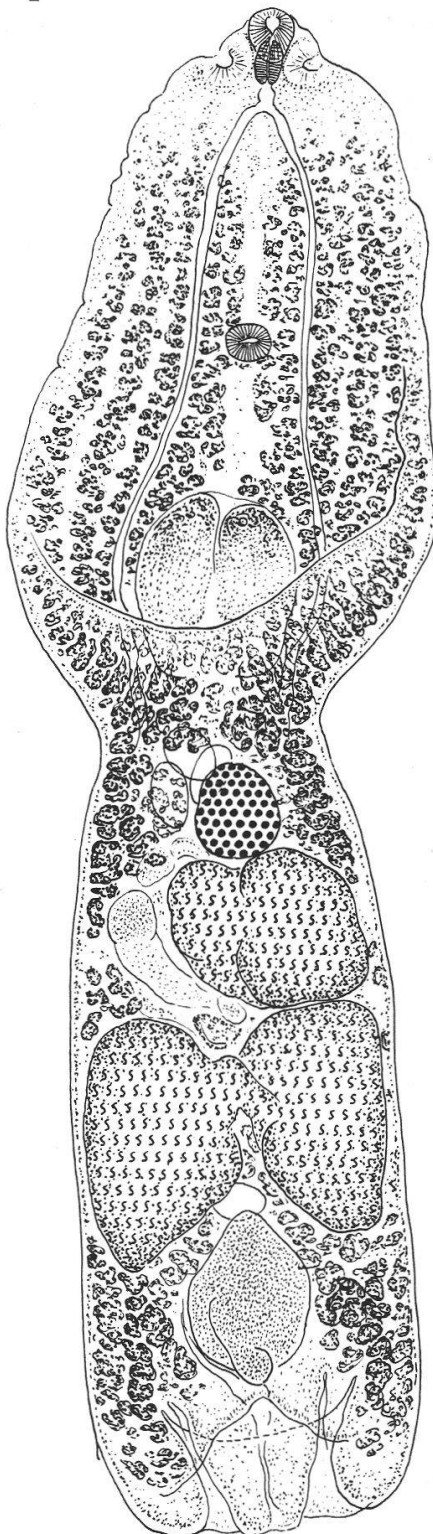


Fig. 4. *Diplostomum (Adenodiplostomum) triangulare* (S. J. Johnston, 1904), de *Dacelo novaeguineae* (Herm.) = *D. gigas* (Bodd.) [N° 1140]. Longueur 2,03 mm. Vue dorsale.

cône génital. Vitellogènes s'étendant antérieurement jusqu'à mi-distance entre les ventouses ou même plus en avant, et postérieurement jusqu'à l'extrémité du corps : réservoir vitellin intertesticulaire. Glande de Mehlis latérale, à la hauteur de la seconde moitié du testicule antérieur. Canal de Laurer (diamètre 20 μ) s'ouvrant dorsalement au niveau de l'équateur de ce dernier. Bourse copulatrice occupant le dernier cinquième du segment postérieur, à large ouverture terminale, beaucoup plus profonde ventralement que dorsalement en raison de l'insertion para-axiale du cône génital robuste, piriforme et déjeté dorsalement, qui porte à sa base un bourrelet ventral semi-circulaire, toujours inclus dans l'atrium. Œufs au nombre de un à 31 dans l'utérus.

Longueur totale	1,62-2,10 mm (2,3 mm d'après JOHNSTON)
Segment antérieur	0,72-1,10/0,52-0,60
Segment postérieur	0,90-1,07/0,44-0,52

Rapport des longueurs :

segment postérieur/segment antérieur 0,9-1,2 (moy. 1)

Diamètres :¹

ventouse buccale	66-84/60-70 μ
pseudo-ventouses	65-90/40-57
pharynx	52-68/42-50 (45-52 μ contracté)
ventouse ventrale	47-56/63-72
organe tribocytique	180-210
ovaire	125-150/105-125
testicule antérieur	170-270/215-350
testicule postérieur	{ 200-300 230-360/385-475
vésicule séminale	160-220/130-170
cône génital	170-210/180-200
œufs	89-96/52-57
Distance du centre de la ventouse ventrale au bord antérieur de l'organe tribocytique	135-200 μ
Longueur de l'œsophage	15-40
Diamètre des caeca	10-25
Epaisseur du bourrelet semi-circulaire enveloppant la moitié ventrale du cône génital	40-65 μ
Profondeur de la bourse copulatrice entre le cône et la paroi ventrale	130-260 μ

Situation dans le segment antérieur :

limite des vitellogènes	15-27/100 (moy. 23/100)
ventouse ventrale	42-51/100 (moy. 48/100)
bord antérieur de l'organe tribocytique	62-68/100
centre de l'organe tribocytique	72-81/100

¹ Longitudinal / transversal.

Situation dans le segment postérieur :

ovaire	11-17/100
bord antérieur du 1 ^{er} testicule	15-23/100
bord postérieur du 2 ^e testicule	61-76/100

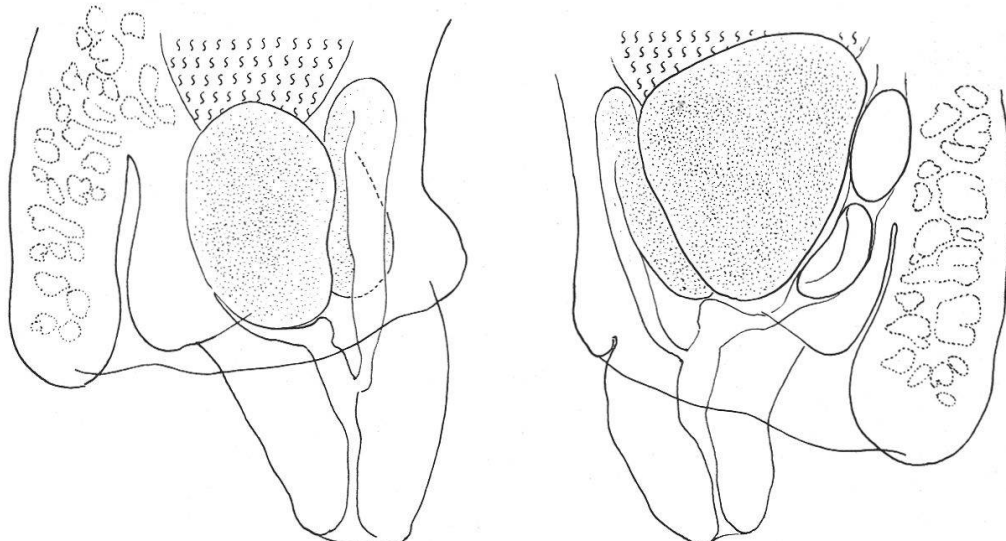


Fig. 5. *Diplostomum (Adenodiplostomum) triangulare* (S. J. Johnston, 1904), de *Dacelo novaeguineae* (Herm.) = *D. gigas* (Bodd.) [N° 1140]. Schémas de l'extrémité postérieure montrant le bourrelet ventral du cône génital.

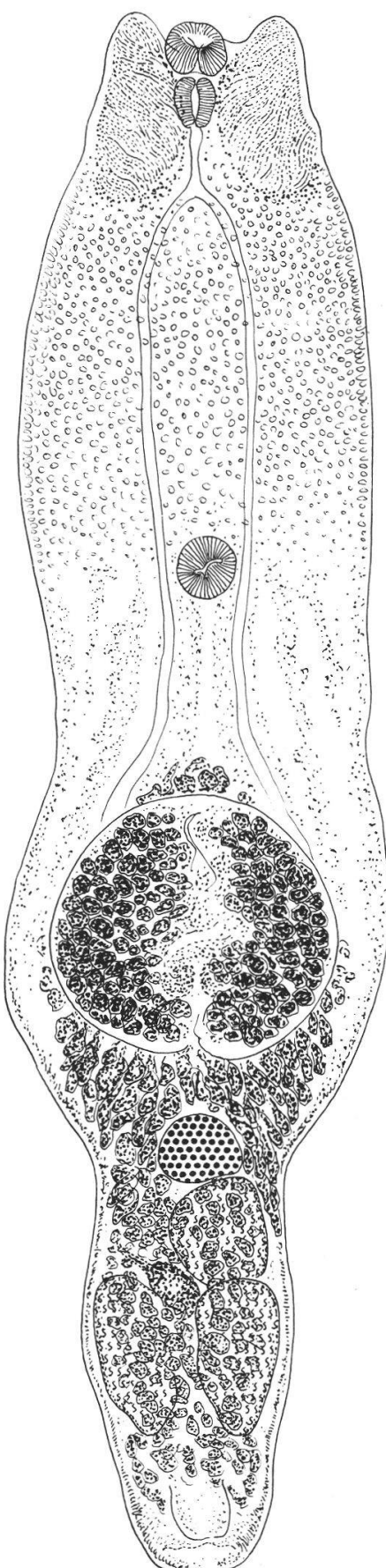
L'espèce est caractérisée par la présence d'un cône génital robuste, para-axial et déjeté dorsalement, muni à la base d'un bourrelet ventral semi-circulaire. Cette caractéristique permet de la distinguer des autres Diplostomes et de la conserver comme type du taxon *Adenodiplostomum* Dub., que nous abaissons au rang subgénérique.

Sur des coupes qui nous ont été obligamment prêtées par M^{me} Jennifer M. Jones, de l'« Australian National University », Canberra, A.C.T., nous n'avons pas retrouvé les grandes cellules glandulaires pré- et postacétabulaires, représentées par S. J. JOHNSTON (1904, fig. 2 et 4), mais seulement des éléments plus petits, piriformes (18-25/13-17 μ), à cytoplasme granuleux, gris-violacé, situés entre les fibres musculaires dorso-ventrales.

Le sous-genre *Adenodiplostomum* ne paraît donc pas caractérisé par un système glandulaire particulier (auquel se référail l'étymologie), mais par la structure de l'appareil copulateur.

Diplostomum (Dolichorchis) auriculosum n. sp.

La description suivante est basée sur l'examen de quatre exemplaires recueillis dans l'intestin grêle d'un *Anhinga novaehollandiae* (Gould), capturé à Kola, Brisbane River, Qld., le 25 août 1965. Le Ver présente les



caractéristiques du sous-genre *Dolichorchis* Dub., à savoir le développement asymétrique du premier testicule, l'allongement des lobes du second testicule, réunis par une étroite commissure dorsale, et l'existence d'un cône génital.

Diagnose: Corps linguiforme à bi-segmenté ; segment antérieur lancéolé, à bord postérieur replié ventralement, à extrémité céphalique munie de deux grandes pseudo-ventouses amygdaloïdes, appointies en avant et saillantes comme des oreilles, à face ventrale et dorsale avec de nombreuses petites glandes sous-cuticulaires très réfringentes¹, observables jusqu'au niveau de l'acetabulum ou à peine au-delà, à cuticule très finement striée obliquement de part et d'autre de la ligne médiane ; segment postérieur plus court, ovoïde en contraction, à peine délimité du précédent et aussi large que lui, ou conique à sub-cylindrique en extension et, dans ce cas, plus étroit. Ventouse buccale légèrement retirée par rapport aux saillies des pseudo-ventouses ; ventouse ventrale plus grande ou subégale, située un peu en arrière de la mi-longueur du segment antérieur, à une distance du front de l'organe tribocytique égale à 3 ou 4 fois son diamètre. Prépharynx très court ; pharynx ellipsoïde, de longueur subégale à celle de la ventouse buccale ; œsophage court. Organe tribocytique circulaire, s'ouvrant par une fente médiane, à cuticule très finement spinescente ; glande protéolytique bipartite, au niveau de son bord postérieur. Ovaire ovoïde, sub-médian, situé tout au début du second

¹ Des glandes semblables ont été signalées par BAER (1957, p. 560, fig. 8) chez *Mesostephanus dotrensi*, de la Côte-d'Ivoire.

Fig. 6. *Diplostomum (Dolichorchis) auriculosum* n. sp., de *Anhinga novaehollandiae* (Gould) [N° 1147]. Holotype. Longueur 1,42 mm. Vue ventrale.

segment. Testicule antérieur asymétriquement développé, cunéiforme ; testicule postérieur bilobé, à lobes allongés réunis par une étroite commissure dorsale oblique ; vésicule séminale logée dans sa concavité postérieure et suivie d'un canal éjaculateur musculeux (diamètre 20 μ , épaisseur des parois 6-7 μ). Vitellogènes du segment antérieur concentrés dans l'organe tribocytique et disposés en couronne à sa base, n'atteignant pas la ventouse ventrale ; à densité moindre en arrière et dans le segment postérieur, dont ils revêtent la face ventrale, masquant les gonades et s'étendant jusqu'au-devant de la bourse copulatrice ; réservoir vitellin intertesticulaire, glande de Mehlis opposée à la seconde moitié du premier testicule. Canal de Laurer débouchant dorsalement à ce niveau. Bourse copulatrice moyenne, occupant le dernier cinquième du segment postérieur, à ouverture terminale, abritant un cône génital traversé par le canal hermaphrodite. (Œufs rares (un dans l'utérus).

Longueur totale	1,32-1,51 mm
Segment antérieur	0,90-1,06/0,32-0,37
Segment postérieur	0,36-0,45/0,20-0,37

Rapport des longueurs :

segment postérieur/segment antérieur 0,35-0,47

Diamètres :

ventouse buccale	42-53/51-57 μ
pseudo-ventouses	140-160/80-90
pharynx	47-50/37-42
ventouse ventrale	52-73/60-78
organe tribocytique	220-260/180-260
ovaire	67-80/80-100
testicule antérieur	100-150/90-145
testicule postérieur	140-210/170-310
cône génital	70-90/50-55
œuf	92/60

Longueur de l'œsophage	47-52 μ
Distance du centre de la ventouse ventrale au bord antérieur de l'organe tribocytique	180-215 μ
Distance des derniers follicules vitellogènes à l'extrémité du corps	63-65 μ
Profondeur de la bourse copulatrice	50-80 μ

Situation dans le segment antérieur :

ventouse ventrale	52-59/100
limite des vitellogènes	61-71/100
bord antérieur de l'organe tribocytique	70-75/100
centre de l'organe tribocytique	83-85/100

Situation dans le segment postérieur :

ovaire	6-13/100
bord antérieur du 1 ^{er} testicule	13-14/100
bord postérieur du 2 ^e testicule	68-78/100

Diplostomum (Dolichorchis) auriculosum n. sp. se rapproche des espèces *marahoueense* (Baer, 1957), type du sous-genre, *ketupanense* Vidyarthi, 1937 et *heronei* Srivastava, 1954¹, dont la limite antérieure des vitellogènes est en arrière de la ventouse ventrale ou au niveau de son bord postérieur.

La distribution des vitellogènes du segment antérieur est beaucoup plus large chez *ketupanense* et chez *heronei*. Les pseudo-ventouses du premier sont réniformes ou en croissant de lune ; celles du second, déprimées jusqu'à être post-pharyngiennes.

C'est l'espèce africaine *marahoueense* qui présente le plus d'analogie avec le Diplostome australien, notamment en ce qui concerne la grandeur des pseudo-ventouses et le confinement des vitellogènes dans la zone de l'organe tribocytique. (Ils n'atteignent jamais le niveau de la ventouse ventrale.) Chez *marahoueense*, les ventouses et le pharynx sont plus grands ; les pseudo-ventouses, même saillantes, ne dépassent pas l'équateur de la ventouse buccale, et la longueur de celle-ci est nettement supérieure à celle du pharynx. La ventouse ventrale est un peu plus petite que la buccale. L'organe tribocytique, ovoïde, ne mesure que 137/90 μ (à égalité de longueur totale du corps : 1,3-1,5 mm). L'hôte est une Chouette pêcheuse.

Neodiplostomum (Conodiplostomum) spathula australiense

Dubois, 1937 comb. emend.

[Syn. « *Neodiplostomum spathula* (Crep.), de *Haliastur sphenurus* Gould », in DUBOIS 1938, p. 264, fig. 174 ;
= *Neodiplostomum spathula australiae* Dubois, 1953, p. 61 et 66]

La description originale était basée sur l'examen d'un matériel recueilli par William Nicoll, au Queensland, le 8 décembre 1913, dans le duodénum d'un Falconidé, *Aviceda subcristata* (Gould). Nous avons signalé (1938, p. 264), dans la collection de Sydney (Australie), un lot de quelques exemplaires jeunes, parasites de *Haliastur sphenurus* (Vieill.), qui furent attribués à *Neodiplostomum spathula* (Crep.), puis considérés (1953) comme représentant une variété *australiae* de cette espèce.

L'un de nous (J.C.P.) a retrouvé des spécimens non ovigères (associés à *Neodiplostomum (N.) subaequipartitum* n. sp.) dans l'intestin grêle d'un *Haliastur sphenurus*, à Surat, Qld., le 13 août 1964 [N° 1082], puis

¹ GANAPATI et RAO (1962, p. 523) avaient considéré *heronei* comme synonyme de *ketupanense*.

8 exemplaires, dont 6 ovigères, à Brisbane, Qld., le 10 août 1965, chez un *Tyto alba delicatula* (Gould) [N° 1172]. C'est d'après ces derniers que nous établissons la description suivante.

Diagnose : Segment antérieur lancéolé, cochléariforme, à bords latéraux repliés ventralement, environ deux fois plus long et toujours plus large que le segment postérieur ovoïde à conique, dont il est séparé par une constriction moyenne. Ventouse buccale à peine plus petite que la ventouse ventrale située un peu en arrière de la mi-longueur du segment antérieur. Pharynx ellipsoïde ; œsophage court ; caeca très étroits, s'allongeant jusqu'à la bourse copulatrice. Organe tribocytique elliptique, s'ouvrant par une fente médiane. Ovaire ovoïde, submédian, situé à la limite intersegmentaire. Testicules symétriquement développés, occupant toute la largeur des deux premiers tiers du segment postérieur ; vésicule séminale posttesticulaire, à circonvolutions. Vitellogènes très développés dans le segment antérieur, surtout dans la zone de l'organe tribocytique et jusqu'à la limite intersegmentaire, se raréfiant en avant de la ventouse ventrale pour se terminer à mi-distance entre celle-ci et la bifurcation intestinale (c'est-à-dire environ au tiers du segment antérieur) ; réduits dans le segment postérieur à un ruban ventral médian, qui s'élargit en arrière des testicules pour former deux petits amas de follicules au-devant et au niveau de la bourse copulatrice ; réservoir vitellin et glande de Mehlis intertesticulaires. Bourse copulatrice moyenne, à atrium peu profond, à ouverture subterminale, dorsale, contenant un cône génital globoïde, à l'entrée duquel convergent l'utérus et le canal ejaculateur. Œufs au nombre de 1 à 16 dans l'utérus.

Longueur totale	0,98-1,48 mm
Segment antérieur	0,65-0,95/0,35-0,42
Segment postérieur	0,33-0,53/0,21-0,38

Rapport des longueurs :

segment postérieur/segment antérieur 0,44-0,57 (moy. 0,50)

Diamètres :

ventouse buccale	45-57/44-47 μ (moy. 50/45)
pharynx	34-49/26-34
ventouse ventrale	47-52/49-57 (moy. 51/53)
organe tribocytique	140-190/110-150
ovaire	55-95/90-125
testicule antérieur	95-160/180-310
testicule postérieur	95-157/190-310
cône génital	70
œufs	94-110/52-63

Distance du centre de la ventouse ventrale au bord antérieur de l'organe tribocytique	85-140 μ
Longueur de l'œsophage	30-65
Diamètre des caeca	5-10

Situation dans le segment antérieur :

limite des vitellogènes	28-37/100
ventouse ventrale	53-57/100
bord antérieur de l'organe tribocytique	67-70/100
centre de l'organe tribocytique	77-80/100

Situation dans le segment postérieur :

ovaire	à la limite intersegmentaire
bord antérieur du 1 ^{er} testicule	6-11/100
bord postérieur du 2 ^e testicule	62-66/100

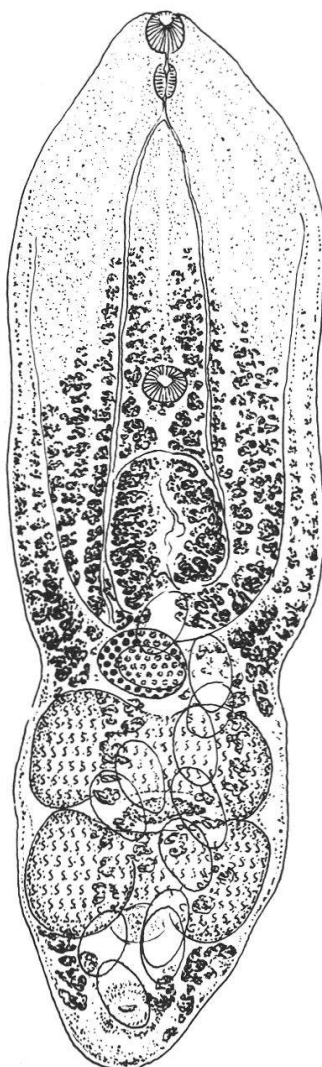


Fig. 7

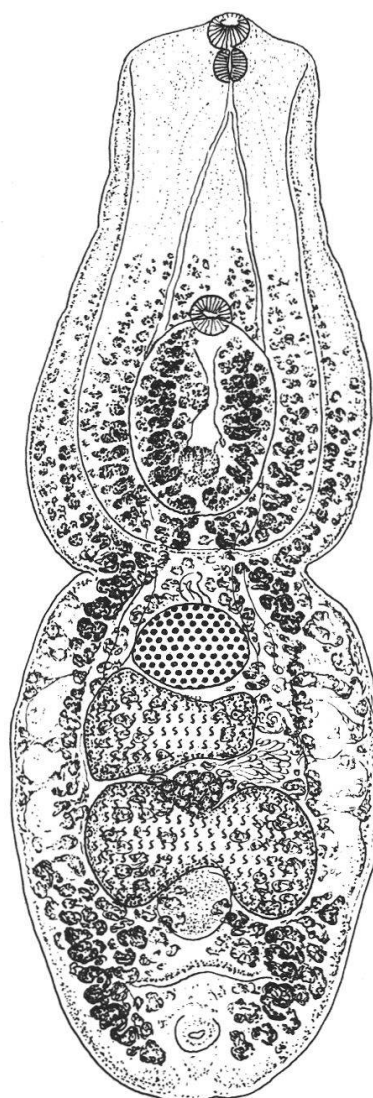


Fig. 8

Fig. 7. *Neodiplostomum (Conodiplostomum) spathula australiense* Dubois, 1937, de *Tyto alba delicatula* (Gould) [N° 1172]. Longueur 1,32 mm. Vue ventrale.

Fig. 8. *Neodiplostomum (Neodiplostomum) subaequipartitum* n. sp., de *Haliastur sphenurus* (Vieill.) [N° 1082]. Holotype. Longueur 1,28 mm. Vue dorsale. (Le segment postérieur est légèrement dilaté.)

La sous-espèce *australiense* se distingue de *Neodiplostomum s. spathula* d'Europe par la subégalité des diamètres de la ventouse buccale et de la ventouse ventrale, et par la situation de cette dernière en arrière de la mi-longueur du segment antérieur.

La sous-espèce nord-américaine *banghami* Penrod a des dimensions plus grandes (jusqu'à 2,5 mm) et un organe tribocytique oblong et plus long (jusqu'à 650 μ). La ventouse ventrale se situe au-devant de la mi-longueur du segment antérieur (35-47/100).

Neodiplostomum (Neodiplostomum) subaequipartitum n. sp.

Un matériel comprenant une quinzaine d'exemplaires a été recueilli à Surat, Qld., le 13 août 1964, dans l'intestin grêle d'un *Haliastur sphenurus* (Vieill.) [N° 1082]. Il s'y trouvait quelques spécimens non ovigères de *Neodiplostomum (Conodiplostomum) spathula australiense* Dub.

Diagnose : Segment antérieur de contour lyriforme ou piriforme, à bords latéraux repliés ventralement, à cuticule très finement spinescente jusqu'au niveau de l'organe tribocytique, où la largeur est maximum ; segment postérieur ellipsoïde, presque aussi long et presque aussi large, rarement plus large que le précédent, dont il est séparé par une forte constriction. Ventouse buccale un peu plus petite que la ventouse ventrale située légèrement en arrière de la mi-longueur du segment antérieur, partiellement ou totalement recouverte par l'organe tribocytique ou tangente à son bord frontal. Prépharynx nul ou très court ; pharynx ellipsoïde, globulaire par contraction ; œsophage court. Organe tribocytique elliptique, s'ouvrant par une fente médiane ; glande protéolytique au niveau de son bord postérieur. Ovaire ellipsoïde ou ovoïde, médian, développé transversalement dans le premier quart du second segment. Testicule antérieur asymétrique, cunéiforme à claviforme ; testicule postérieur bilobé, en forme d'haltère, à un lobe plus développé, opposé obliquement au précédent ; vésicule séminale logée dans sa concavité postérieure. Vitellogènes à densité maximum autour de l'organe tribocytique, dans lequel les follicules s'accumulent, et au début du segment postérieur, de chaque côté de l'ovaire ; raréfiés en avant de la ventouse ventrale jusqu'à leur limite comprise entre le $1/3$ et les $2/5$ du segment antérieur ; réduits dans la zone testiculaire à un large ruban ventral qui se dilate et remonte latéralement dès le niveau de la vésicule séminale, pour constituer deux amas latéro-terminaux dans le dernier tiers du segment postérieur ; réservoir vitellin intertesticulaire. Glande de Mehlis latérale, presque à ce niveau ou s'avancant dans la zone du premier testicule. Canal de Laurer (diamètre 15 μ) débouchant dorsalement à la hauteur de ce testicule. Bourse copulatrice moyenne, occupant le dernier cinquième du segment postérieur, à ouverture subterminale, dorsale ; canal hermaphrodite procurvé, prolongeant l'utérus. Œufs peu nombreux (jusqu'à 5).

Longeur totale	1,15-1,42 mm
Segment antérieur	0,60-0,80/0,37-0,47
Segment postérieur	0,55-0,62/0,32-0,43

Rapport des longueurs :

segment postérieur/segment antérieur 0,75-0,91

Diamètres :

ventouse buccale	47-53/52-60 μ
pharynx	37-47/37-43
ventouse ventrale	50-57/55-62
organe tribocytique	220-250/165-185
ovaire	95-110/135-190
testicule antérieur	120-175/195-230
testicule postérieur	120-170/250-330
œufs	89-94/56-63

Distance du centre de la ventouse ventrale au bord antérieur de l'organe tribocytique 0-18 μ

Distance du rebord antérieur de la bourse copulatrice à l'extrémité du corps 110-145 μ

Longueur du prépharynx	0-7 μ
Longueur de l'œsophage	37-90
Diamètre des caeca	7-15

Situation dans le segment antérieur :

limite des vitellogènes	31-43/100
ventouse ventrale	51-55/100
bord antérieur de l'organe tribocytique	54-56/100
centre de l'organe tribocytique	70-72/100

Situation dans le segment postérieur :

ovaire	15-20/100
bord antérieur du 1 ^{er} testicule	22-28/100
bord postérieur du 2 ^e testicule	60-66/100
rebord antérieur de la bourse copulatrice	76-81/100

Par son testicule antérieur asymétriquement développé et son ovaire situé dans le premier quart du segment postérieur, par la limite antérieure des vitellogènes au-devant de la ventouse ventrale et le rapport des longueurs « segment postérieur/segment antérieur » compris entre 0,75 et 0,91, la forte constriction intersegmentaire et l'hébergement par un Falconidé, cette nouvelle espèce se rapproche de *Neodiplostomum (N.) attenuatum* (Linstow, 1906), dont elle se distingue notamment par le galbe lyriforme du premier segment et par la forme ellipsoïdale ou ovoïde de l'organe tribocytique.

Diplostomum (Diplostomum) amygdalum Dubois et Pearson, 1965

Trois adultes (dont un ovigère : 7 œufs) et deux spécimens immatures ont été récoltés dans l'intestin grêle d'une *Egretta garzetta* (L.), au nid, le 3 janvier 1963, au Jardin Botanique de Brisbane [N° 843]. Le matériel est médiocrement conservé. Ces exemplaires mesurent 0,87-1,01 mm ; les œufs, 78-79/52 μ .

Posthodiplostomum australe Dubois, 1937

Trois exemplaires adultes mais non ovigères ont été trouvés dans l'intestin grêle d'un *Notophoyx novaehollandiae* (Lath.), à Brisbane, le 28 septembre 1960 [N° 469]. Ils mesurent 0,85-0,87 mm.

D'autres exemplaires ont été récoltés dans le même hôte et dans le même lieu, le 1^{er} septembre 1965 [N° 1151]. C'est sur ces derniers qu'est basée la description suivante.

L'espèce est caractérisée par ses vitellogènes qui, s'allongeant au-delà de la ventouse ventrale (jusqu'à 110 μ de son centre), augmentent de densité jusqu'à la limite intersegmentaire, où ils s'arrêtent brusquement sur un front perpendiculaire à l'axe du corps, pour se réduire dans le second segment à un ruban ventral de la largeur du champ testiculaire et qui se termine au niveau du bord postérieur du second testicule. Le réservoir vitellin est intertesticulaire.

Contrairement à l'aspect des exemplaires originaux plus ou moins contractés, les spécimens de ces nouveaux lots ont un segment antérieur lancéolé et même atténue en avant, à cuticule finement spinescente jusqu'au niveau de l'organe tribocytique. Leur segment postérieur est ovoïde, séparé du précédent par une faible constriction ; sa transparence n'est diminuée que par le rideau folliculaire qui masque les testicules.

L'ovaire est subglobulaire ou ovoïde, latéral (le plus souvent dextre), tangent à la limite intersegmentaire. Le premier testicule, asymétrique, se développe du côté

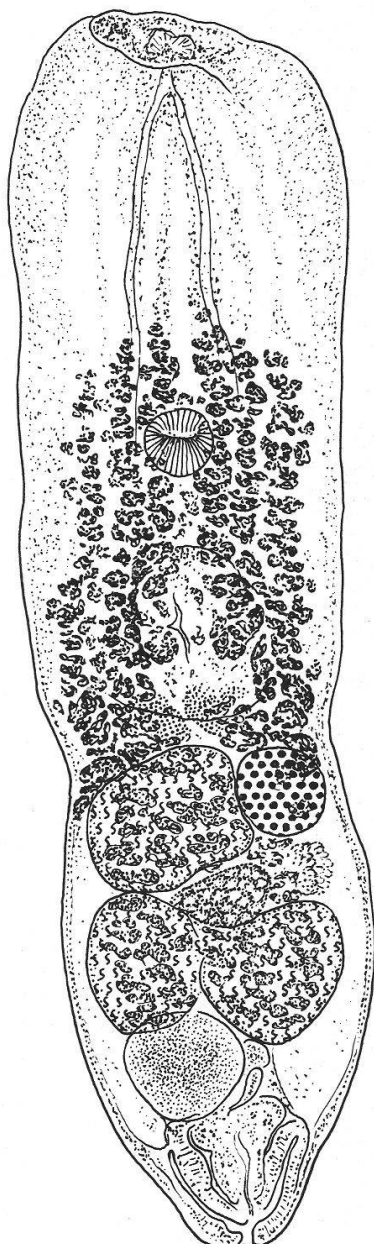


Fig. 9 *Posthodiplostomum australe* Dubois, 1937, de *Notophoyx novaehollandiae* (Lath.) [N° 1151]. Longueur 0,85 mm. Vue dorsale.

opposé sous forme d'un lobe ventral prolongé dorso-transversalement par une éminence conique correspondant à une ébauche de commissure. Le second testicule est bilobé. La vésicule séminale posttesticulaire se prolonge par un canal éjaculateur large de 20μ , contourné en S et du même côté que l'ovaire.

La glande de Mehlis est postovarienne, devant le lobe le plus développé du second testicule.

Quant à la bourse copulatrice, qui occupe le dernier cinquième du segment postérieur, nous renvoyons à la description originale.

Longueur totale	0,85-1,02 mm
Segment antérieur	0,53-0,61/0,21-0,23
Segment postérieur	0,32-0,41/0,19-0,24

Rapport des longueurs :

segment postérieur/segment antérieur	0,58-0,68
--	-----------

Diamètres :

ventouse buccale	34-42/28-30 μ
pharynx	26-29/21-24
ventouse ventrale	47-52/47-52
organe tribocytique	95-110/102-105
ovaire	60-70/60-74
testicule antérieur	92-125/100-140
testicule postérieur	95-120/145-170
bourse copulatrice	92-105/90-105

Situation dans le segment antérieur :

limite des vitellogènes	42-48/100
ventouse ventrale	61-64/100
bord antérieur de l'organe tribocytique	80/100
centre de l'organe tribocytique	88-89/100

Situation dans le segment postérieur :

ovaire	7-10/100
bord antérieur du 1 ^{er} testicule	0- 3/100
bord postérieur du 2 ^e testicule	60-62/100

Posthodiplostomum australe a été retrouvé dans l'intestin d'un *Podiceps ruficollis* (Pall.), à Kola, Brisbane River, Qld., le 25 août 1965 [N° 1146]. L'habitus des deux exemplaires est en tout point identique à celui des Vers décrits ci-dessus. Longueur totale 0,80 mm.

Familia CYATHOCOTYLIDAE Poche, 1925

Mesostephanus minor Dubois et Pearson, 1965

L'espèce a été retrouvée dans l'intestin grêle d'un *Pelecanus conspicillatus* Temm., à Mackay, Qld., le 26 juin 1964 [N° 1077], et d'un *Anhinga novaehollandiae* (Gould), à Kola, Brisbane River, Qld., le 25 août 1965 [N° 1147].

Longueur	0,86-1,42 mm
Largeur	0,34-0,55
Rapport longueur/largeur	2,53-3,10

Diamètres :

ventouse buccale	45-50/45-50 μ
pharynx	40-46/30-39
ventouse ventrale	50-60/55-62
organe tribocytique ¹	165-210/160-175
ovaire	75/95
testicule antérieur	125-230/95-155
testicule postérieur	115-210/90-170
œufs	84-100/58-70

Longueur de l'œsophage	80-105 μ
Longueur de la poche du cirre	420-500
Diamètre de la couronne vitelline	290-440
Rapport longueur du corps/diamètre de la couronne vitelline	3-4,3
Situation de la ventouse ventrale	45-51/100
de la limite antérieure des vitellogènes	51-52/100
Nombre d'œufs dans l'utérus	0 à 3

La poche du cirre claviforme, s'allongeant jusqu'au bord antérieur du second testicule, paraît bien caractériser l'espèce: dès les $2/3$ ou les $3/5$ de sa longueur, ses parois s'amincent brusquement, si bien qu'à cet endroit une flexion de l'organe peut se produire à la faveur d'une contraction du corps. Les vitellogènes n'atteignent pas le niveau de la ventouse ventrale. Le pharynx est plus petit que la ventouse buccale. Les testicules, situés dorsalement, sont soit allongés dans l'axe du corps, soit développés transversalement. (Le second déborde la couronne vitelline.)

¹ Jusqu'à 365/350 μ en éversion.

Résumé

Trois espèces nouvelles sont décrites : *Schwartzitrema novaehollandiae* et *Diplostomum (Dolichorchis) auriculosum*, de *Anhinga novaehollandiae* (Gould) ; *Neodiplostomum (Neodiplostomum) subaequipartitum*, de *Haliastur sphenurus* (Vieill.).

Strigea promiscua Nicoll, 1914, *Schwartzitrema pandubi* (Pande, 1939), *Diplostomum (Adenodiplostomum) triangulare* (S. J. Johnston, 1904), *Neodiplostomum (Conodiplostomum) spathula australiense* Dubois, 1937 (syn. *N. spathula australiae* Dubois, 1953), *Posthodiplostomum australe* Dubois, 1937 et *Mesostephanus minor* Dubois et Pearson, 1966 sont redécrits.

BIBLIOGRAPHIE

- BAER, J.-G. — (1957). Trématodes et Cestodes récoltés en Côte d'Ivoire, avec remarques sur la famille des Dicrocoeliidae Odhner et sur les parasites des Damans. *Rev. suisse Zool.* 64 : 547-575, 14 fig.
- DUBOIS, G. — (1937). Etude de quelques Strigéidés d'Australie et notes sur le genre *Fibricola* Dubois, 1932. *Ann. Parasitol. Paris* 15 : 231-247, 333-353, 22 fig.
- (1938). Monographie des Strigeida (Trematoda). *Mém. Soc. neuchâtel. Sci. nat.* 6 : 1-535, 354 fig.
- (1953). Systématique des Strigeida. Complément de la Monographie. *Ibid.* 8 (2) : 1-141.
- DUBOIS, G. et PEARSON, J. C. — (1965). Quelques Strigeida (Trematoda) d'Australie. *Bull. Soc. neuchâtel. Sci. nat.* 88 : 77-99, 14 fig.
- GANAPATI, P. N. et RAO, K. H. — (1962). Ecological and life-history studies on a strigeid metacercaria (Trematoda : Diplostomatidae) from freshwater fishes of Andhra Pradesh. *Parasitology* 52 : 519-525, 8 fig., pl. 1 (7 fig.).
-